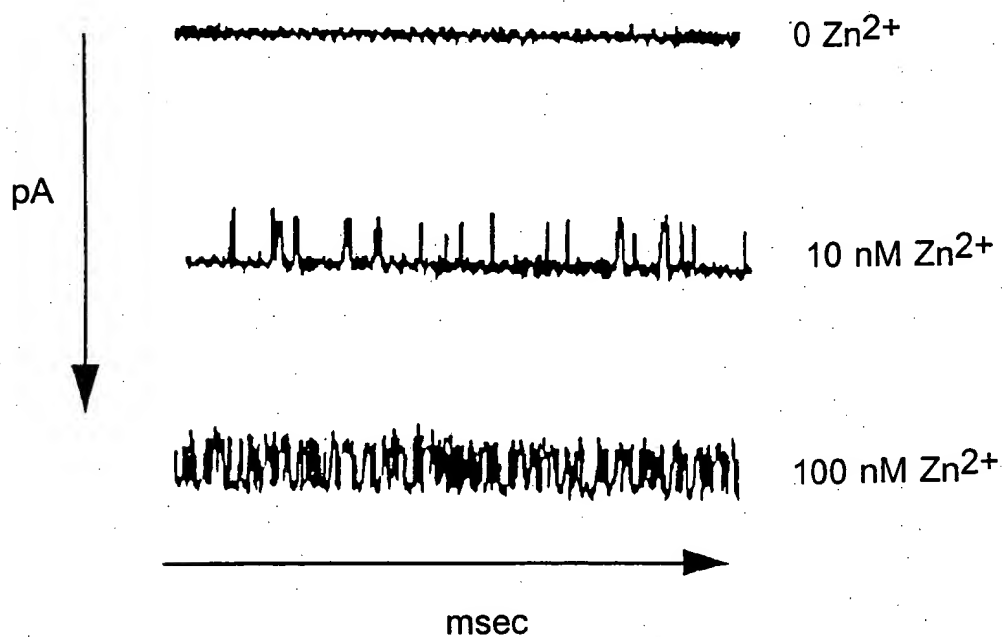
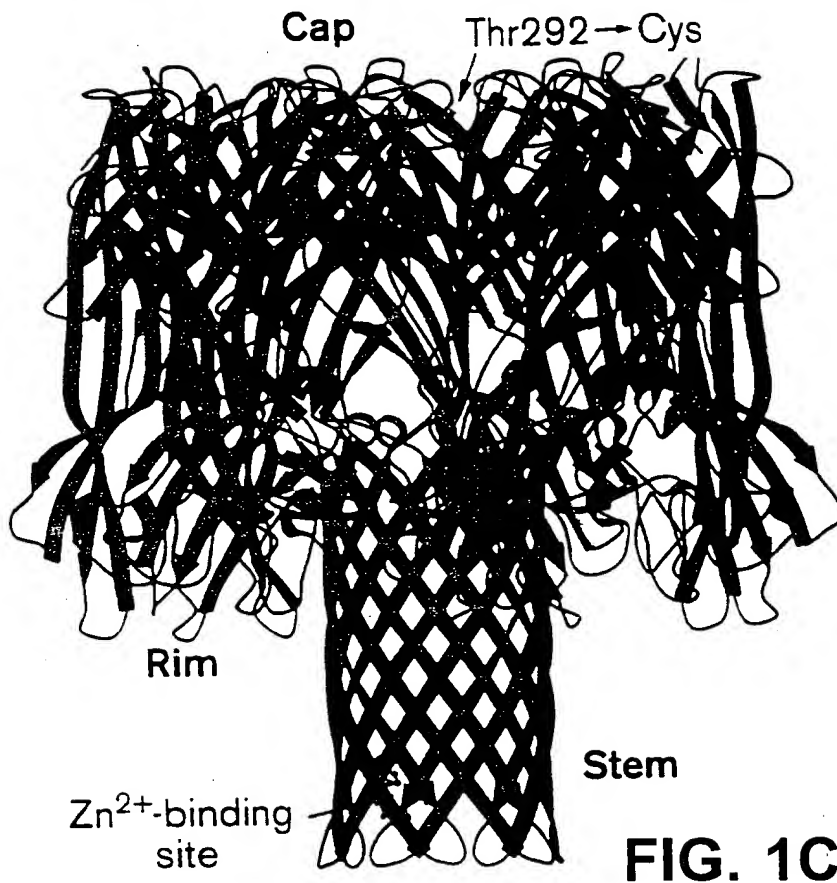
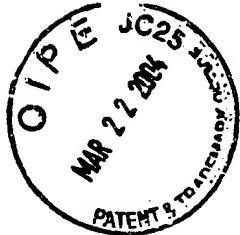
**FIG. 1A**

Results

**FIG. 1B**



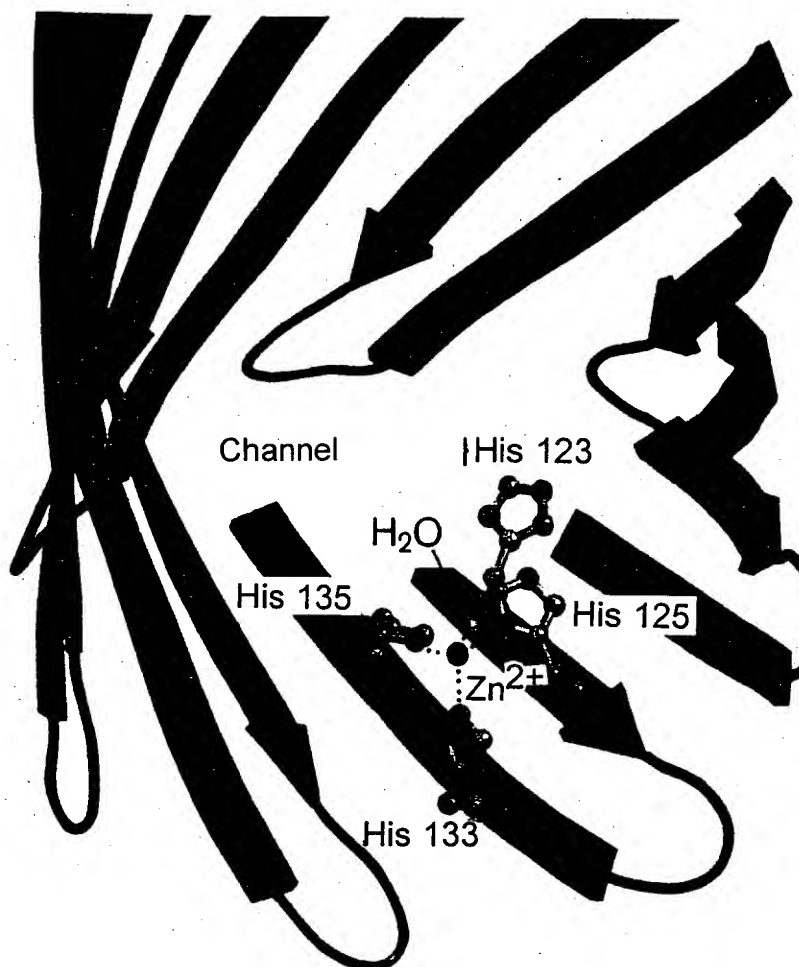
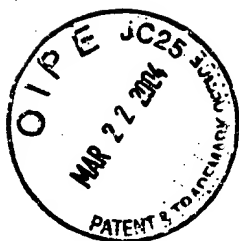
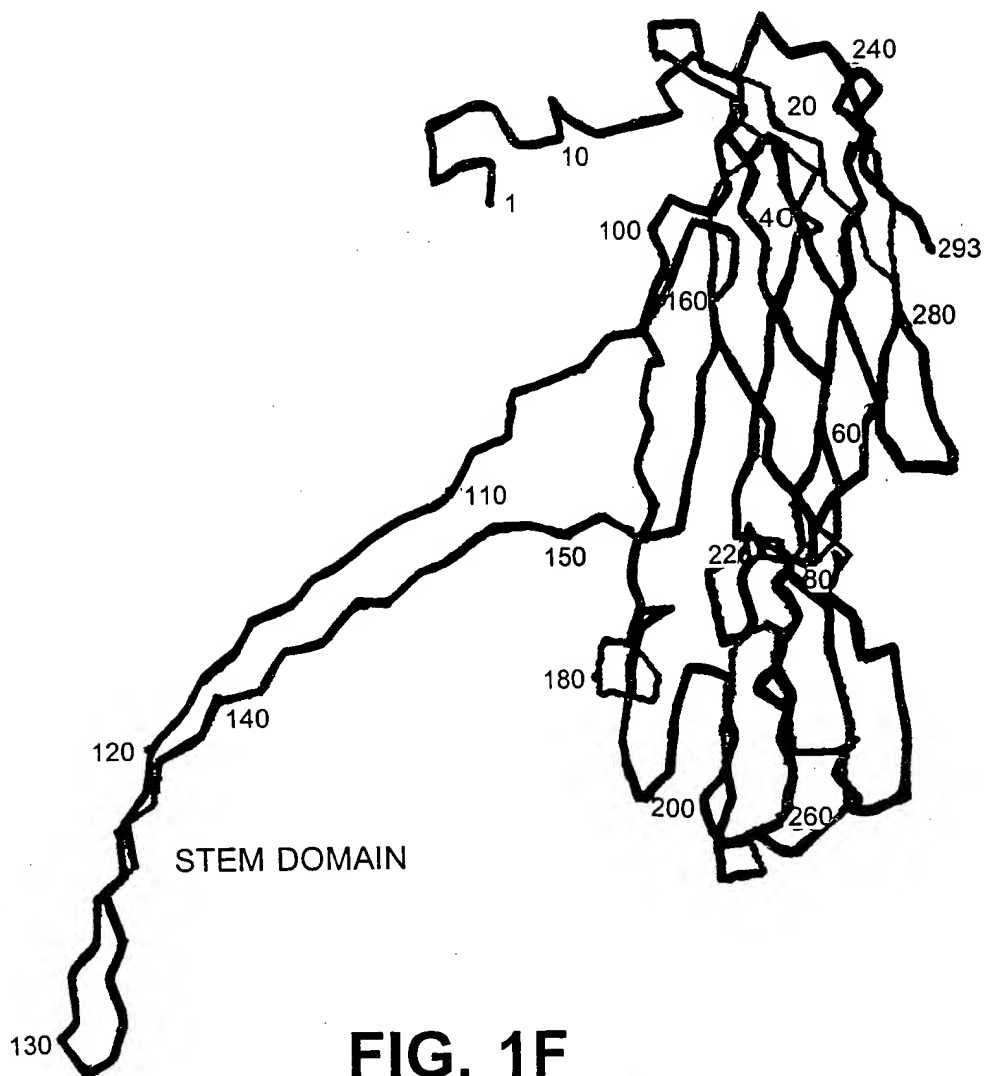
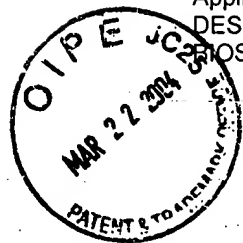


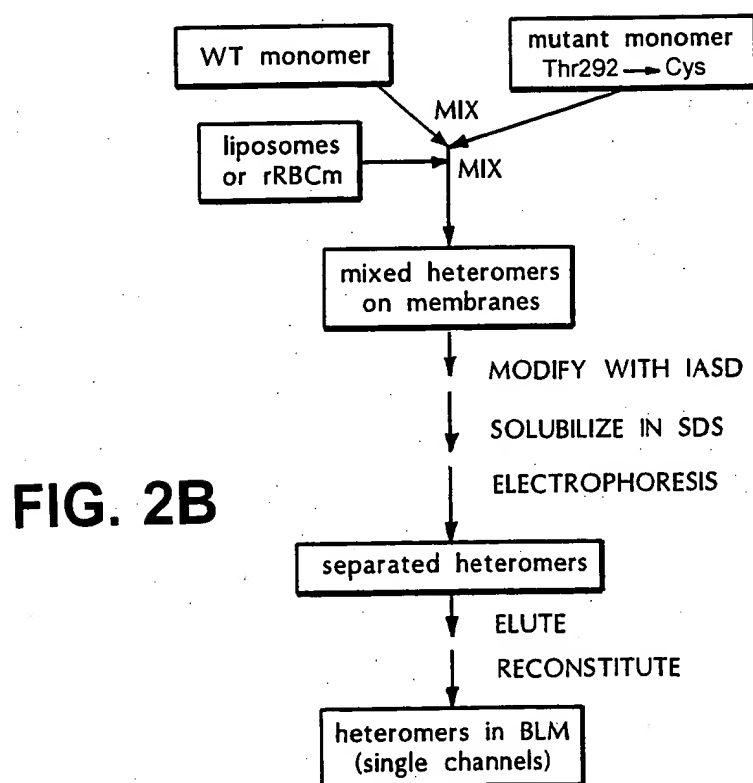
FIG. 1E





		5:1	1:1	1:5
WT ₇		27.9	0.78	0.0003
WT ₆ MUT ₁		39.1	5.47	0.013
WT ₅ MUT ₂		23.4	16.4	0.19
WT ₄ MUT ₃		7.81	27.3	1.56
WT ₃ MUT ₄		1.56	27.3	7.81
WT ₂ MUT ₅		0.19	16.4	23.4
WT ₁ MUT ₆		0.013	5.47	39.1
MUT ₇		0.0003	0.78	27.9

FIG. 2A



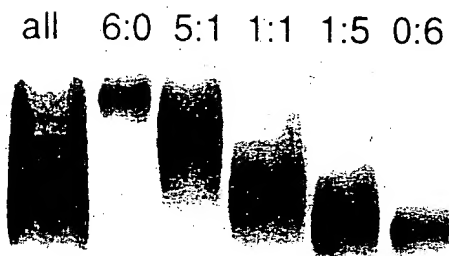
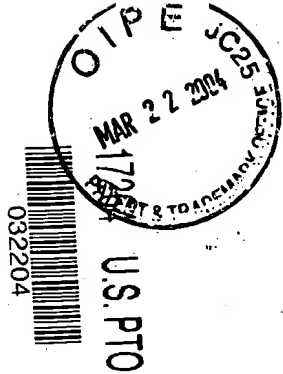


FIG. 2C



FIG. 3B

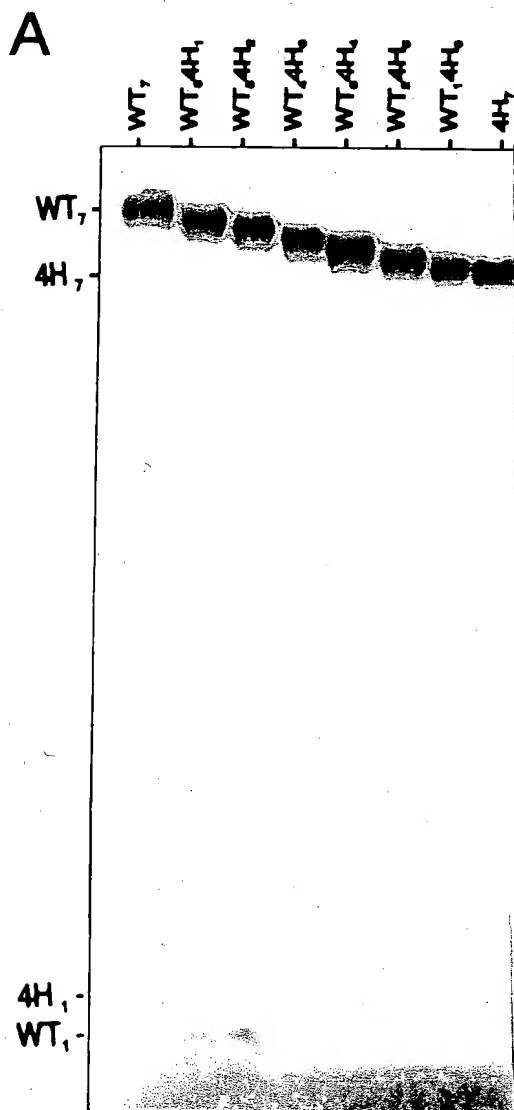


FIG. 3A

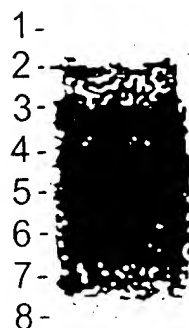


FIG. 4A

17264 U.S. PTO
032204

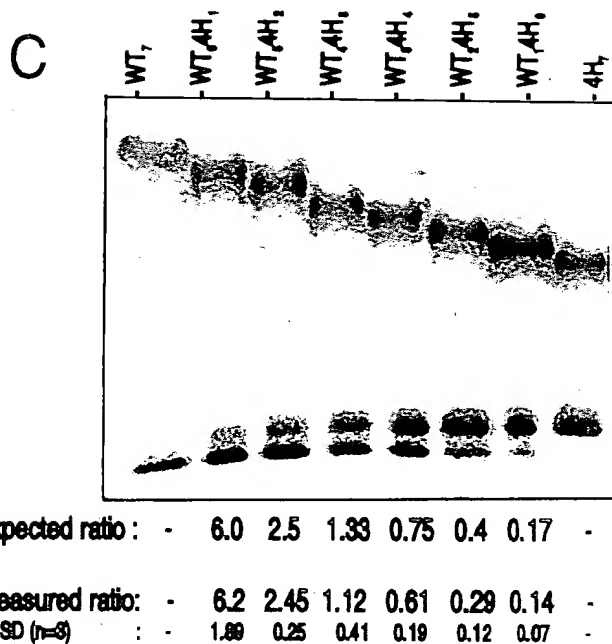


FIG. 3C

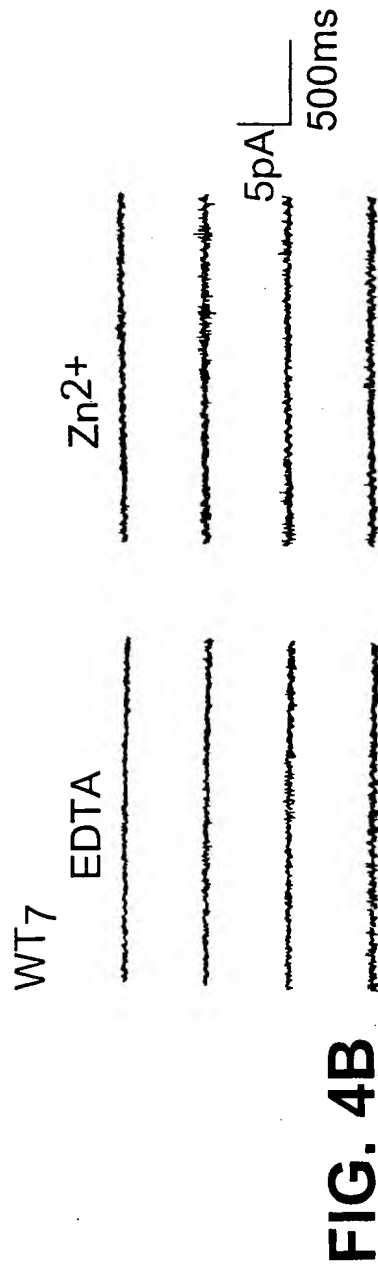


FIG. 4B

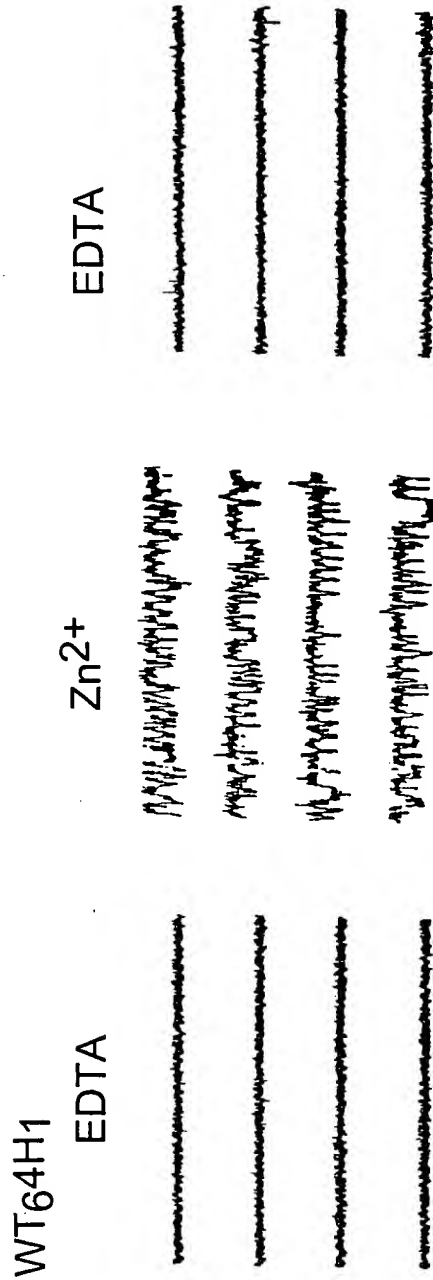


FIG. 4C

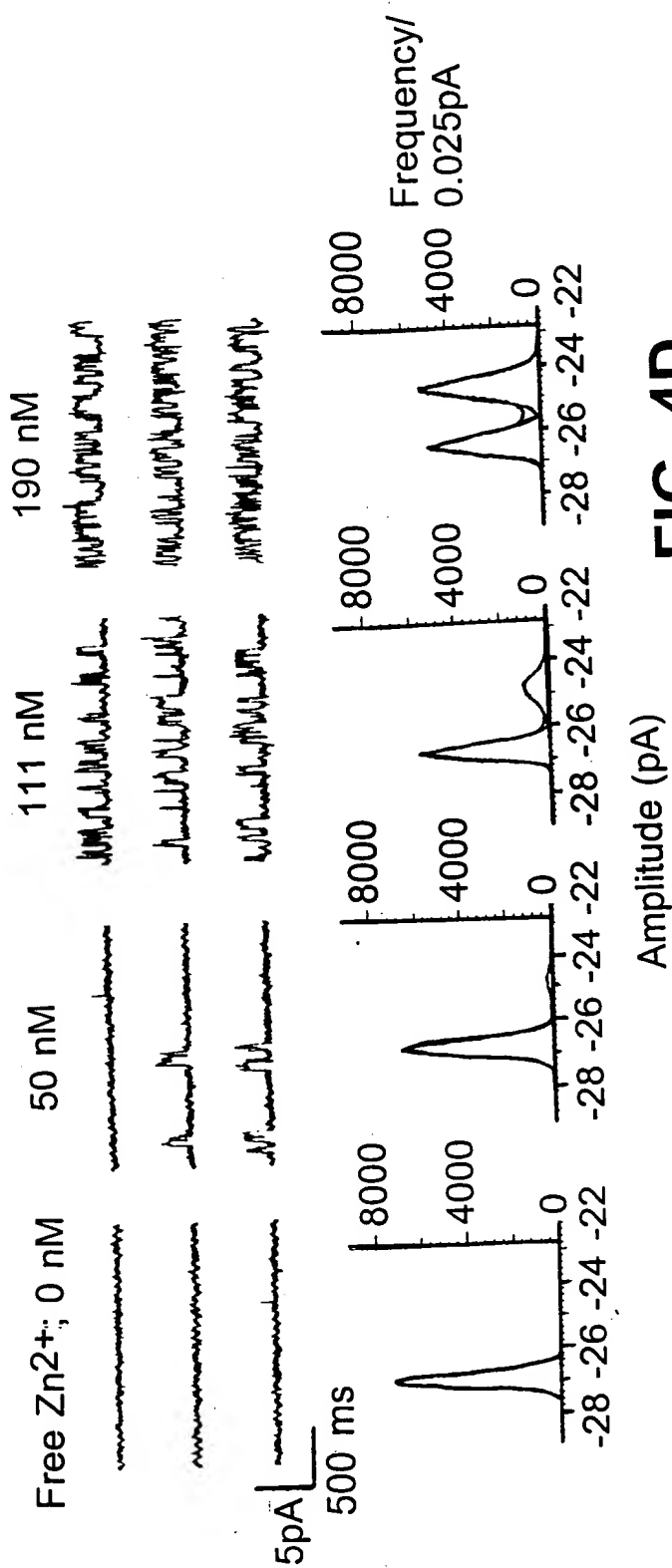


FIG. 4D

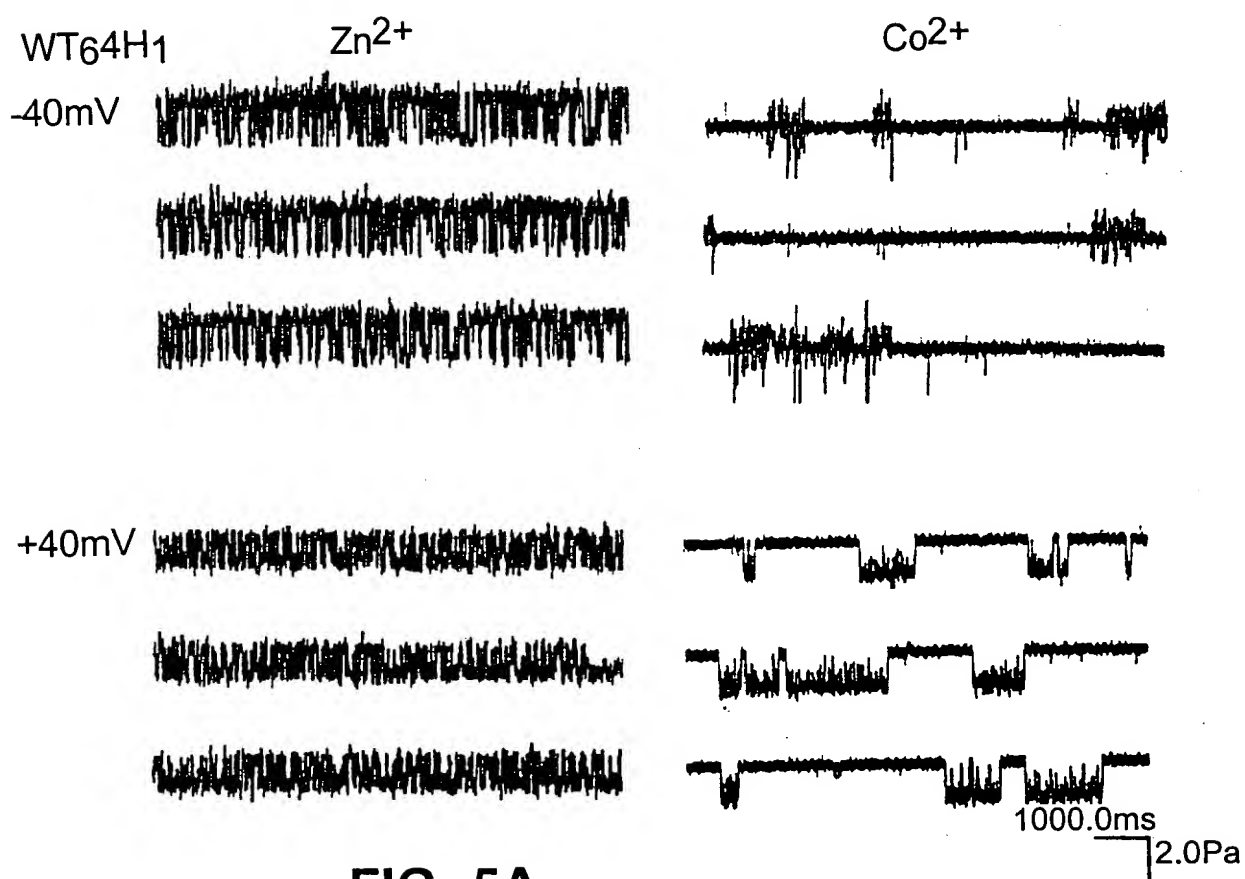
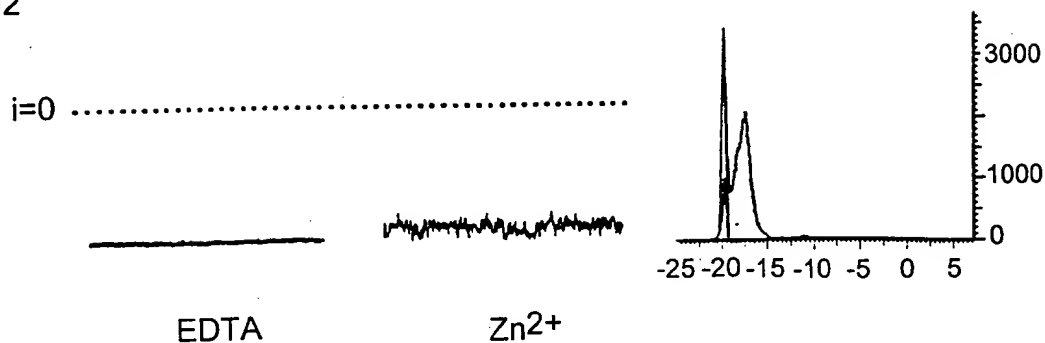


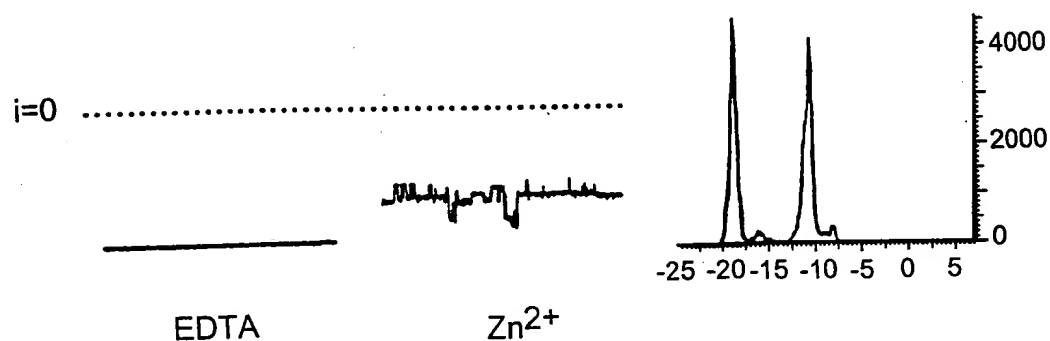
FIG. 5A



WT54H2



WT44H3



4H7

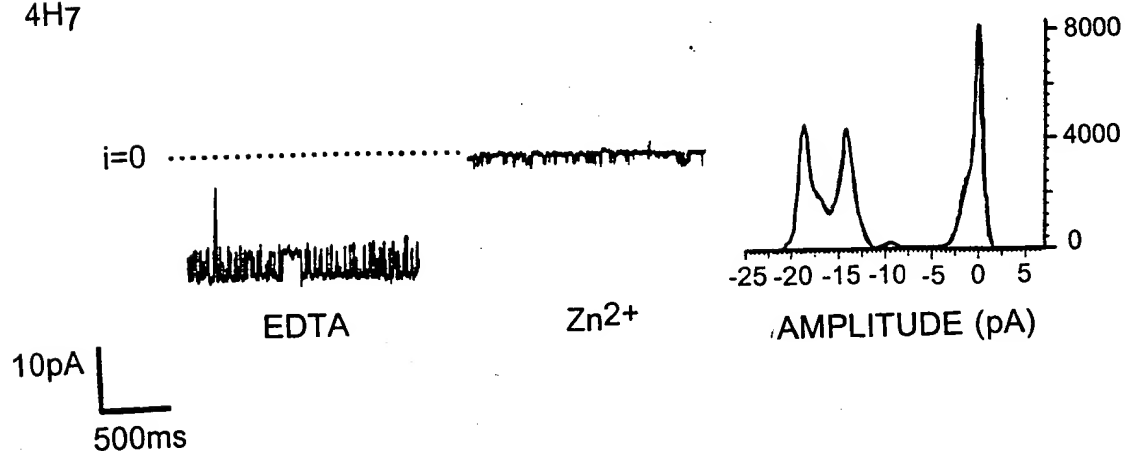


FIG. 5B

